

Equazione di Schrodinger

Prima di riportare l'equazione di Schrodinger
 un breve accenno alle trasformate di Fourier
 e alle delta di Dirac spesso utilizzate.

→ Dato una funzione $\phi(\vec{x})$ si definisce
 trasformata di Fourier di $\phi(\vec{x})$ l'integrale

$$F(\phi(\vec{x})) = \int \phi(\vec{x}) e^{-i\vec{p}\vec{x}} d^3x = c(\vec{p})$$

la controtrasformata di Fourier vale

$$F^{-1}(c(\vec{p})) = \int c(\vec{p}) e^{i\vec{p}\vec{x}'} d^3p = \phi(\vec{x}')$$

La definizione è ben posta infatti

$$\phi(\vec{x}') = \iint \phi(\vec{x}) e^{-i\vec{p}(\vec{x}-\vec{x}')} d^3x d^3p$$

l'uguaglianza è verificata perché si può

dimostrare che

0

$$\int d^3p e^{-i\vec{p}(\vec{x}-\vec{x}')} = \delta_3(\vec{x}-\vec{x}')$$

dove $\delta_3(\vec{x}-\vec{x}')$ è detta delta di Dirac

è una funzione nulla per $\vec{x} \neq \vec{x}'$ e

$$\text{tale che } \int \delta_3(\vec{x}-\vec{x}') d^3x = 1$$

Di seguito riportiamo l'equazione di Schrodinger ⁽¹⁾
per una particella libera non relativistica.

La soluzione di tale equazione permette di
determinare l'evoluzione della funzione
d'onda nel tempo $\phi(x, y, z, t)$ e di determinare
la probabilità che al tempo t la
particella sia presente in un volume $\delta x \delta y \delta z$.

vale detto da $P(x, y, z, t) = \int |\phi(x, y, z, t)|^2 \delta x \delta y \delta z$

con $|\phi(x, y, z, t)|^2 = \phi^*(x, y, z, t) \phi(x, y, z, t)$ e

con ϕ^* complesso coniugato di ϕ .

Considera una funzione complessa della forma

$$\phi = e^{i(\vec{K} \cdot \vec{x} - \omega t)} \quad \text{secondo la quantizzazione}$$

dell'energia di Planck e la lunghezza d'onda λ .

De Broglie possiamo scrivere:

$$E = h f = \frac{h \omega}{2\pi} = \hbar \omega$$

$$p = \frac{h}{\lambda} = \frac{h}{2\pi} k = \hbar k$$

sostituendo

$$\phi = e^{i/\hbar (\vec{p} \cdot \vec{x} - Et)}$$

da cui si ricave

$$\begin{cases} \frac{\partial \phi}{\partial x} = \frac{i}{\hbar} p_x \phi \\ \frac{\partial \phi}{\partial t} = -\frac{i}{\hbar} E \phi \end{cases} \Rightarrow$$

$$\begin{cases} p_x \phi = -i \hbar \frac{\partial}{\partial x} \phi \\ p_y \phi = -i \hbar \frac{\partial}{\partial y} \phi \\ p_z \phi = -i \hbar \frac{\partial}{\partial z} \phi \\ E \phi = i \hbar \frac{\partial}{\partial t} \phi \end{cases}$$

(3)

Dovendo valere

$$2mE = p^2$$

$$2mE \phi = p^2 \phi$$

$$i\hbar \frac{\partial}{\partial t} \phi = -\frac{\hbar^2}{2m} \left[\frac{\partial^2}{\partial x^2} \phi + \frac{\partial^2 \phi}{\partial y^2} + \frac{\partial^2 \phi}{\partial z^2} \right]$$

L'equazione di Schrödinger è un'equazione lineare.

Dato che è lineare, una soluzione può essere scritta nella forma

$$\phi(\vec{x}, t) = C(\vec{p}) e^{\frac{i}{\hbar} (\vec{p} \cdot \vec{x} - Et)} d^3p$$

$$\boxed{\text{con } E = p^2/2m}$$

$$\text{Ne } \phi(\vec{x}, t=0) = c(\vec{p}) e^{\frac{i}{\hbar} \vec{p} \cdot \vec{x}} d^3p \quad (4)$$

$c(\vec{p})$ rappresenta la trasformata di Fourier della funzione d'onda calcolata al tempo $t=0$.

Fisicamente $|c(\vec{p})|^2 d^3p$ rappresenta la probabilità che la particella abbia una quantità di moto compresa tra dp_x, dp_y, dp_z .

Mentre $|\phi(x, t)|^2 d^3x$ la probabilità che la particella si trovi nel volume $\Delta x \Delta y \Delta z$ al tempo t .

Il principio di indeterminazione di Heisenberg

Il principio di indeterminazione di Heisenberg afferma che alcune grandezze quali ad esempio posizione x e quantità di moto p_x oppure energia E e tempo t non possono essere misurate in modo preciso senza commettere un errore valutato secondo le formule

$$\Delta x \Delta p_x \geq \frac{\hbar}{2} .$$

È osservato che quando si prepara il sistema misurando i valori di queste grandezze per definire la funzione $\psi(x, y, z, t=0)$ tale funzione contiene in modo intrinseco l'incertezza sulle stesse.

L'evoluzione temporale delle funzioni d'onda ψ
porterà ad un risultato probabilistico
ricordando che

$$\int \psi^*(x, y, z, t) \psi(x, y, z, t) \Delta x \Delta y \Delta z$$

rappresenterà la probabilità di trovare la
particella nel volume $\Delta x \Delta y \Delta z$ mentre la grandezza

$$\int C^*(p, t) C(p, t) \Delta p_x \Delta p_y \Delta p_z$$

rappresenterà la probabilità che

che la particella al tempo t presenti
quantità di moto incluse fra i valori
 $\Delta p_x \Delta p_y \Delta p_z$.

Per quanto detto prima il risultato
non è probabilistico per mancanza di
informazioni sulle condizioni iniziali o per

un difetto dei sistemi di misura non troppo precisi.

L'incertezza è intrinseca al modello stesso, e non può essere eliminata.

cercheremo di dimostrare di seguito questa affermazione cercando di seguire le logiche della dimostrazione senza appesantirci sui calcoli.

Ricordiamo che una funzione gaussiana

$$f(x) = \frac{1}{\sigma \sqrt{2\pi}} \exp \left[-\frac{(x-\mu)^2}{2\sigma^2} \right] \quad \text{gode delle}$$

seguenti proprietà:

$$\int_{-\infty}^{\infty} f(x) dx = 1$$

(4)

$$\int_{-\infty}^{\infty} x f(x) dx = \mu \text{ è la media della gaussiana}$$

$$\int_{-\infty}^{\infty} (x - \mu)^2 f(x) dx = \sigma^2 \text{ è la varianza della gaussiana}$$

Considera ora una particolare funzione d'onda
della forma

$$\psi(x, t=0) = \frac{1}{\sqrt{\pi} \sqrt{d}} \exp \left[\frac{i}{\hbar} p_0 (x - x_0) - \frac{(x - x_0)^2}{2 d^2} \right]$$

Tale funzione d'onda verifica la relazione

$$|\psi(x, t=0)|^2 = \frac{1}{d \sqrt{\pi}} \exp \left[- \frac{(x - x_0)^2}{d^2} \right]$$

cioè una funzione gaussiana con media x_0 e
varianza $d^2/2$.

A questo punto si considera le trasformate (5)
di Fourier delle funzione

$$F(\psi(x, t=0)) = C(p, t=0) \quad \text{si ricorre}$$

$$C(p, t=0) = \sqrt{\frac{d}{\hbar \sqrt{\pi}}} \exp\left(-\frac{i}{\hbar} p x_0 - \frac{(p_0 - p)^2 d^2}{2 \hbar^2}\right)$$

$$|C(p, t)|^2 = \frac{d}{\hbar \sqrt{\pi}} \exp\left(-\frac{(p - p_0)^2 d^2}{\hbar^2}\right) e^{-}$$

una funzione gaussiana con media p_0 e

varianza $\frac{\hbar^2}{2d^2}$.

Possiamo quindi verificare che per le

funzione d'onda al tempo $t=0$ vale la

$$\text{proprietà} \quad (\Delta x)^2 (\Delta p)^2 = \frac{d^2}{2} \frac{\hbar^2}{2d^2} = \frac{\hbar^2}{4}$$

Possiamo ora considerare l'evoluzione temporale
della funzione d'onda.

$$\phi(x, t) = \int \frac{1}{\sqrt{2\pi\hbar}} c(p, t=0) \exp\left(-\frac{ip^2 t}{2m\hbar} + \frac{ipx}{\hbar}\right) dp$$

alla risoluzione dell'integrale si calcola

$$|\phi(x, t)|^2 = \frac{1}{d \sqrt{\pi \left(1 + \frac{\hbar^2 t^2}{d^4 m^2}\right)}} \exp\left[-\frac{1}{d^2 \left(1 + \frac{\hbar^2 t^2}{d^4 m^2}\right)} \left(x - x_0 - \frac{p_0 t}{m}\right)^2\right]$$

La densità di probabilità della funzione
evoluta nel tempo ha media

$$\left(x_0 + \frac{p_0 t}{m}\right) \text{ e varianza } \frac{d^2}{2} \left(1 + \frac{\hbar^2 t^2}{d^4 m^2}\right)$$

$$\Delta x^2 \Delta p^2 = \frac{d^2}{2} \left(1 + \frac{\hbar^2 t^2}{d^4 m^2}\right) \frac{\hbar^2}{2d^2} \geq \frac{\hbar^2}{4}$$

Dall'equazione precedentemente riportata

(2)

si verifica che continua a valere il principio di indeterminazione di Heisenberg, anzi aumentato con il tempo l'incertezza.

Si verifica anche che la corrente di

$|\psi(x,t)|^2$ cresce e aumenta con il tempo

secondo la legge $\frac{d^2}{dt^2} \left(1 + \frac{\hbar^2 t^2}{d^2 m^2} \right)$.

Questo fenomeno è detto dispersione ed aumenta quando l'onda è vincolata ad attraversare aperture D molto strette.

Questo fenomeno è riscontrabile per la luce bianca che presenta lunghezze d'onda paragonabili a

D . Per particelle pesanti $\lambda = \frac{h}{p} \approx 0$

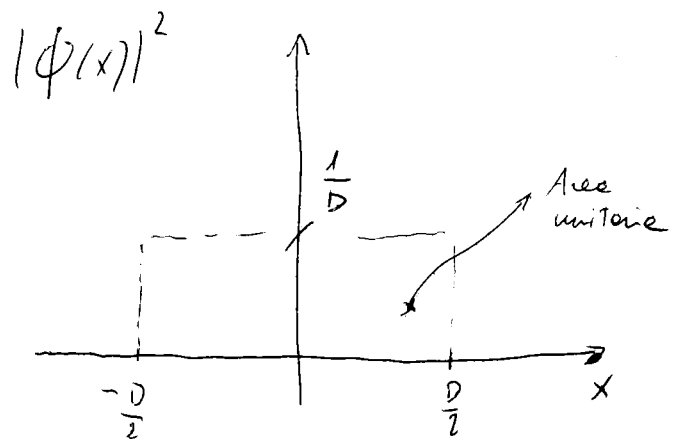
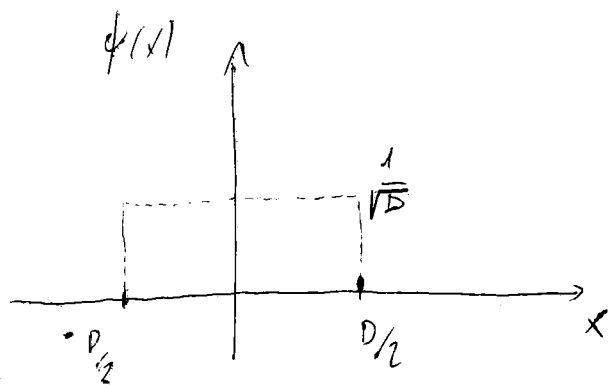
il fenomeno è irrilevante.

Interferenza da una fenditura con il modello quantistico | (1)

Si vuole di seguito verificare che i principi della meccanica quantistica ed in particolare modo il principio di indeterminazione di Heisenberg possono essere visti come la causa della diffrazione attraverso una fenditura di dimensione D .

Considero una particella (fotone) la cui funzione d'onda è data dall'espressione

$$\psi(x) = \begin{cases} \frac{1}{\sqrt{D}} & |x| < \frac{D}{2} \\ 0 & |x| > \frac{D}{2} \end{cases}$$



in pratica la particella è vincolata ad attraversare ②
la fenditura di dimensione D .

La probabilità che si trovi in questa posizione è
data da $|\psi(x)|^2 = 1$; altrove la probabilità
è nulla.

Calcolo ora la trasformata di Fourier di $\psi(x)$

$$C(p_x) = \int_{-\infty}^{\infty} \frac{1}{\sqrt{D}} e^{-i(p_x)x} dx = \left[\frac{e^{-i(p_x)x}}{-i p_x \sqrt{D}} \right]_{-\frac{D}{2}}^{\frac{D}{2}} =$$

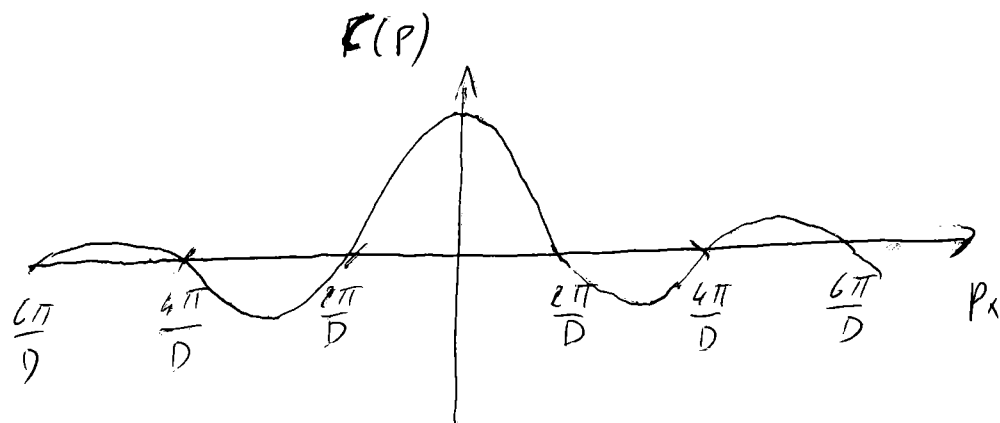
$$= \frac{e^{-i(p_x) D/2} - e^{i(p_x) D/2}}{-i p_x \sqrt{D}} = \frac{2 \sin\left[(p_x) \frac{D}{2}\right]}{p_x \sqrt{D}}$$

Grafico la funzione $C(p_x)$ considerando che

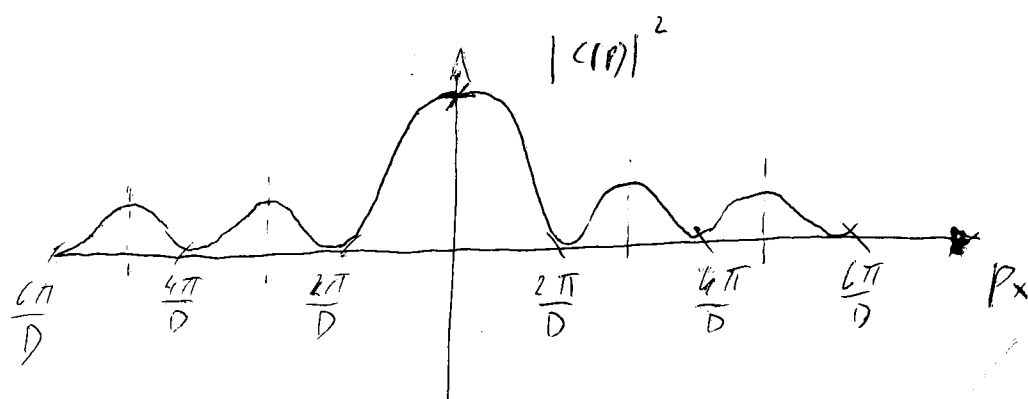
si annulla per $p_x \frac{D}{2} = n\pi$ cioè

$$p_x = \frac{2n\pi}{D}$$

$n = 1, 2, 3, \dots$



consider la funzione $|c(p)|^2$



Del grafico di $|c(p)|^2$ si evidenzia che la probabilità di ottenere alcuni valori di p_x è nulla.

Questi valori sono detti dalla relazione

$$p_x = \frac{2n\pi}{D}$$

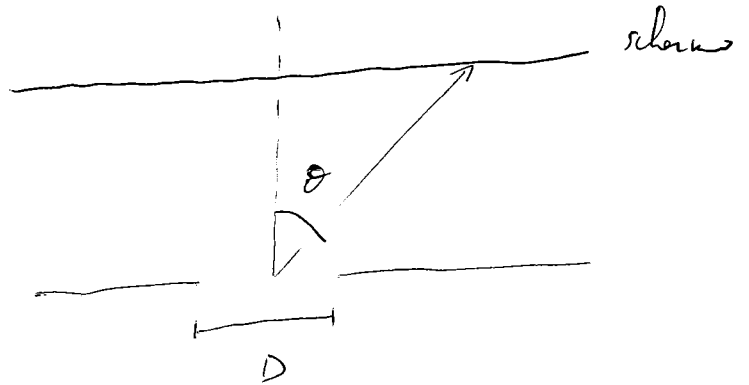
per $n=1, 2, 3, 4, 5, \dots$

Nella seguente i calcoli al di fuori sono considerati

$h=1$ per semplificare.

Eliminando quest'ipotesi semplificative dobbiamo ⁽⁴⁾
 sostituire p_x con $\frac{p_x}{h}$ che rappresenta
 la quantità di moto delle particelle.

$$\frac{p_x}{h} = \frac{2n\pi}{D} \quad n=1,2,3,4,5\dots$$



ma $p_x = p \sin \theta$

e considerando le relazioni di De Broglie.

$$p_x = p \sin \theta = \frac{h}{\lambda} \sin \theta$$

Sostituendo

$$\frac{h}{h} \frac{\sin \theta}{\lambda} = \frac{2n\pi}{D} \Rightarrow \cancel{h} \frac{\sin \theta}{\lambda} = \frac{2n\pi}{D}$$

$$\sin \theta = \frac{n \lambda}{D} \quad n=1,2,3,4,5 \quad (\text{condizione di buio})$$

Equazioni di Schrodinger per particelle soggette ad un potenziale

(1)

L'equazione di Schrodinger per una particella soggetta ad un potenziale $V(x, y, z)$ indipendente dal tempo si scrive:

$$i\hbar \frac{\partial}{\partial t} \varphi(\vec{x}, t) = \left(-\frac{i\hbar^2}{2m} \frac{\partial^2}{\partial x_i^2} + V(\vec{x}) \right) \varphi(\vec{x}, t)$$

Si cerca una soluzione della forma

$$\varphi(\vec{x}, t) = \varphi_1(\vec{x}) \varphi_2(t) \text{ e quindi separando}$$

la variabile temporale da quella spaziale

si risolve il sistema

$$\begin{cases} i\hbar \frac{\partial}{\partial t} \varphi_2(t) = E_i \varphi_2(t) \\ \left(-\frac{\hbar^2}{2m} \frac{\partial^2}{\partial x_i^2} + V(\vec{x}) \right) \varphi_1(\vec{x}) = E_i \varphi_1(\vec{x}) \end{cases}$$

(2)

La risoluzione delle seconde equazione differenziale permette di trovare le autofunzioni $\varphi_{ji}(\vec{x})$ e gli autovalori E_i .

La soluzione delle prime equazione differenziale non è altro che $\varphi_i(t) = \exp\left(-i \frac{E_i t}{\hbar}\right)$.

Una soluzione generale si scrive

$$\begin{aligned}\varphi(\vec{x}, t) &= \varphi_1(\vec{x}) \varphi_2(t) = \sum_i A_i \varphi_{ji}(\vec{x}) \varphi_i(t) = \\ &= \sum_i A_i \varphi_{ji}(\vec{x}) \exp\left[-i \frac{E_i t}{\hbar}\right]\end{aligned}$$

Se le autofunzioni $\varphi_{ji}(\vec{x})$ sono ortonormali vale la relazione

$$\int_{-\infty}^{\infty} \varphi_{ji}^*(\vec{x}) \varphi_{kj}(\vec{x}) d^3x = \begin{cases} 1 & \text{se } i=j \\ 0 & \text{se } i \neq j \end{cases} = \delta(i, j)$$

i coefficienti A_i si determinano conoscendo

(3)

la condizione iniziale data dalla funzione

$$\varphi(\vec{x}, t=0) = \sum_i A_i \varphi_{1i}(\vec{x})$$

$$\int_{-\infty}^{\infty} \varphi^*(\vec{x}, t=0) \varphi_{1i}(\vec{x}) d^3x = A_i.$$

Questo metodo viene utilizzato per esempio

per calcolare gli orbitali dell'atomo di

idrogeno.